## ニュートリノ振動研究の現状と 研究用原子炉によるステライルニュー トリノ探索の可能性

都立大物理·安田修

FPUR2022@RCNP

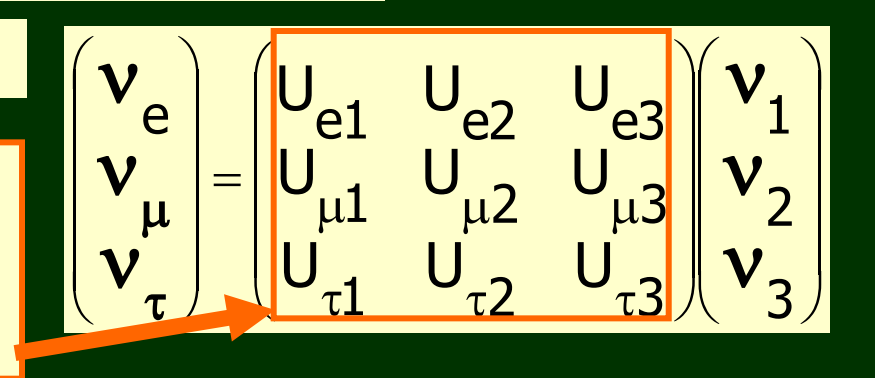
2022年5月30日

#### 1. 序

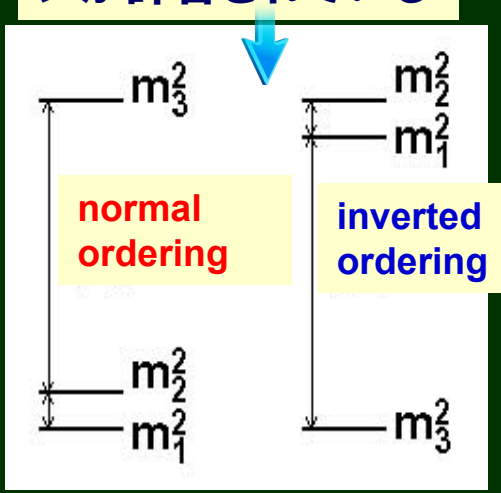
#### 1.1 3世代√振動の枠組み

#### 混合行列

混合角  $\theta_{12}$  $\theta_{23}$ ,  $\theta_{13}$  CP 位相 δに依存



#### 両方の質量パター ンが許容されている



#### 1.2 現時点までにわかっていること(1)

$$\theta_{12} \cong \frac{\pi}{6}, \Delta m_{21}^2 \cong 8 \times 10^{-5} \, eV^2$$

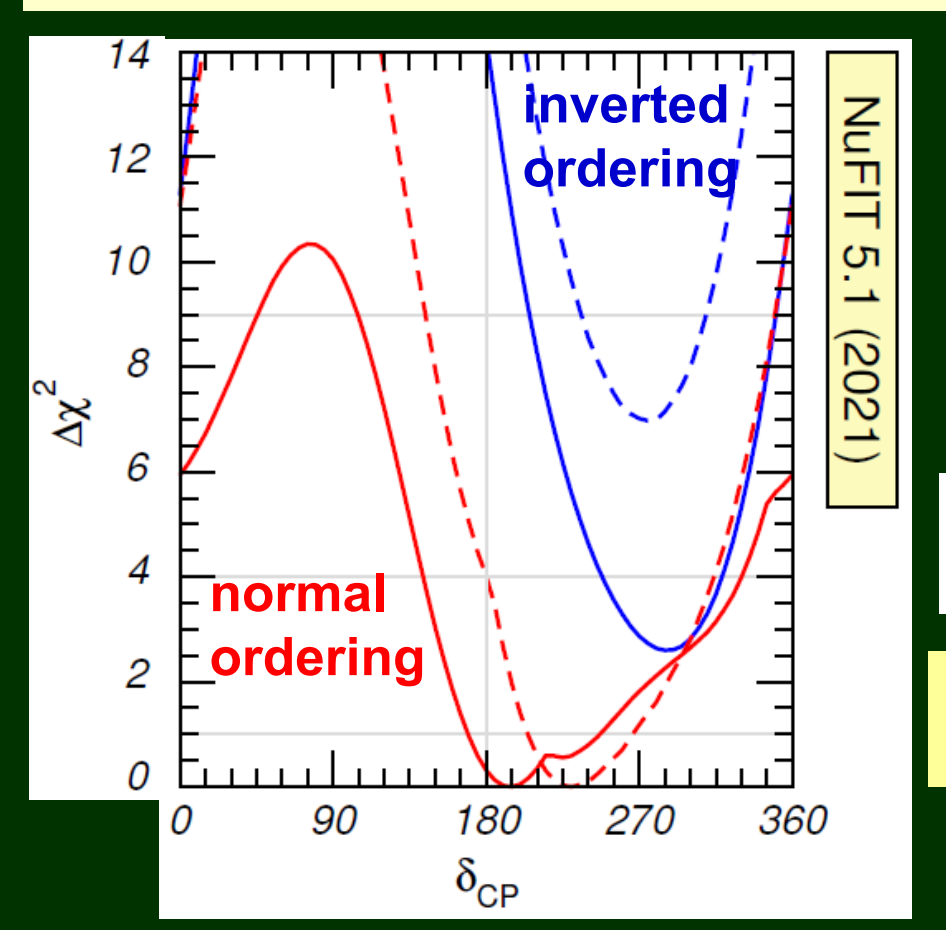
$$\theta_{23} \cong \frac{\pi}{4}$$
,  $|\Delta m_{32}^2| \cong 2.5 \times 10^{-3} \, \text{eV}^2$ 

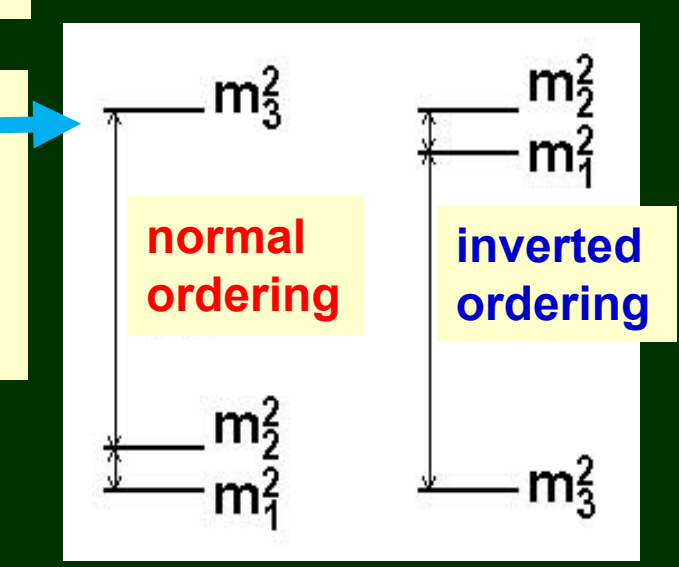


$$\boldsymbol{\theta_{13}} \cong 0.15 \pm 0.01$$

#### 1.2 現時点までにわかっていること(2)

- 両方の質量パターンが許容されている
- $\bullet$   $\delta$   $\sim$  - $\pi$ /2 が best-fit に なって いる がまだ確定 した訳ではない



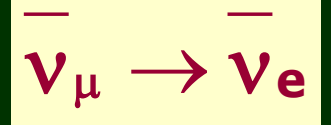


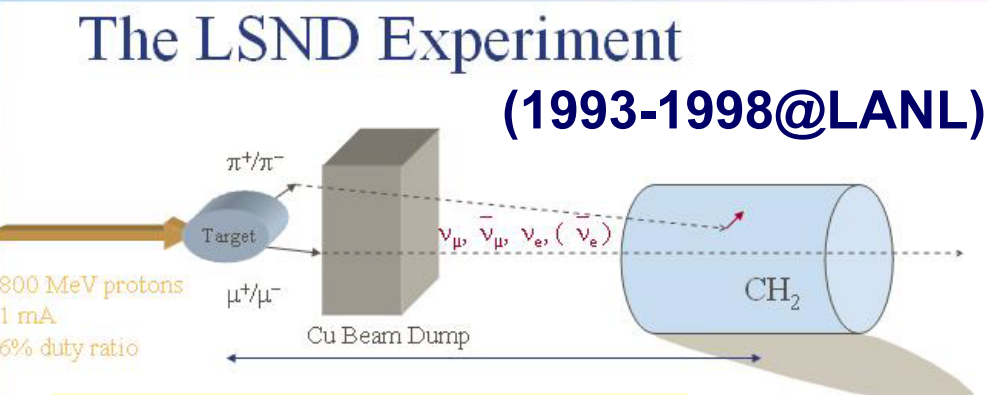
w/o SK-atm
strain with SK-atm

Gonzalez-Garcia, Maltoni, Schwetz, arXiv:2111.03086v2 [hep-ph]

#### 1.3 3世代間のν振動を拡張する可能性

● LSND実験の結果



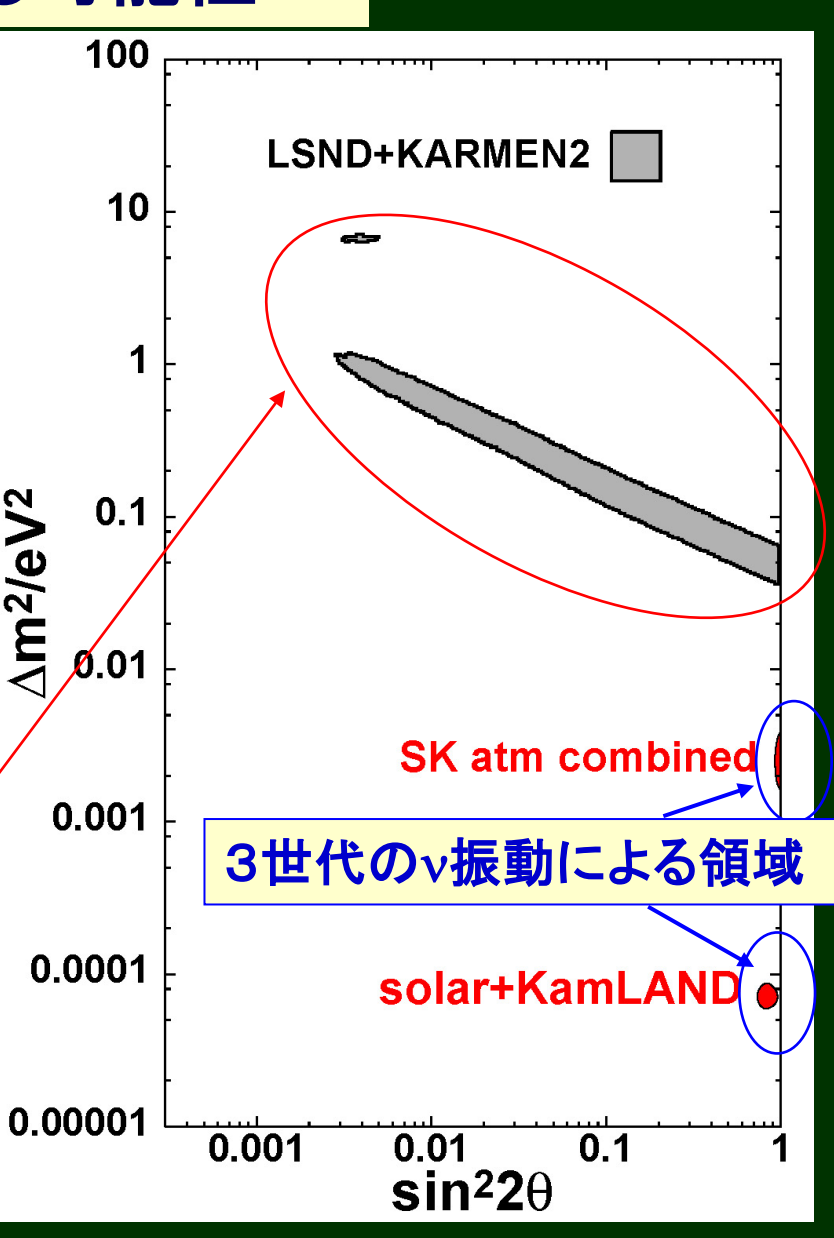


E~50MeV, L~30m

167 tons CH<sub>2</sub> 1220 PMT's Active Veto Shield

 $\Delta m^2 \cong O(1)eV^2 \underset{\text{sin}^2}{??}$   $sin^2 2\theta \cong O(10^{-2})$ 

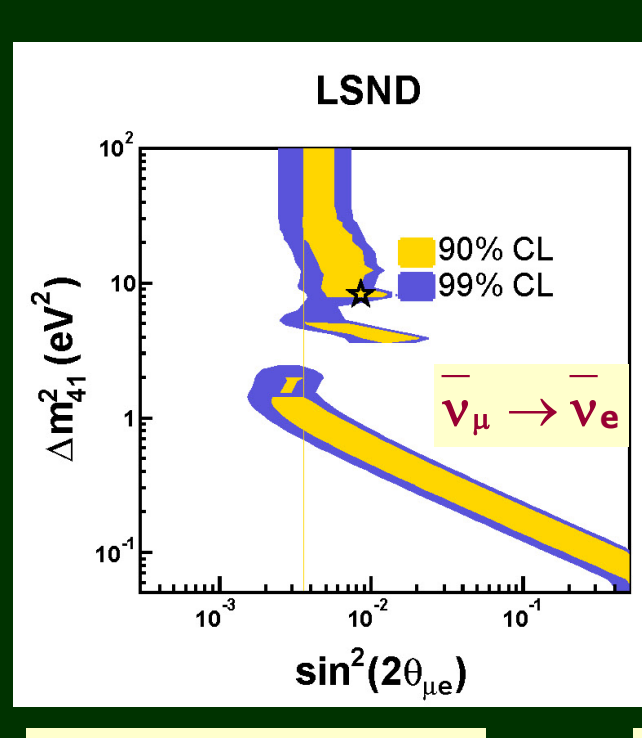
これは3世代間のv振動では説明不可能

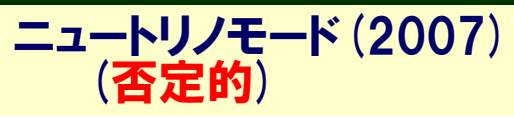


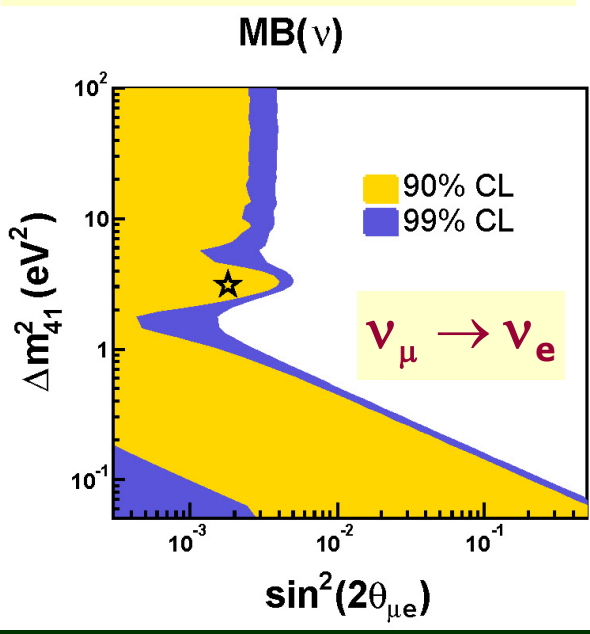


LSNDを追試するための実験なはずだったが、 結論はどっちつかずになっている

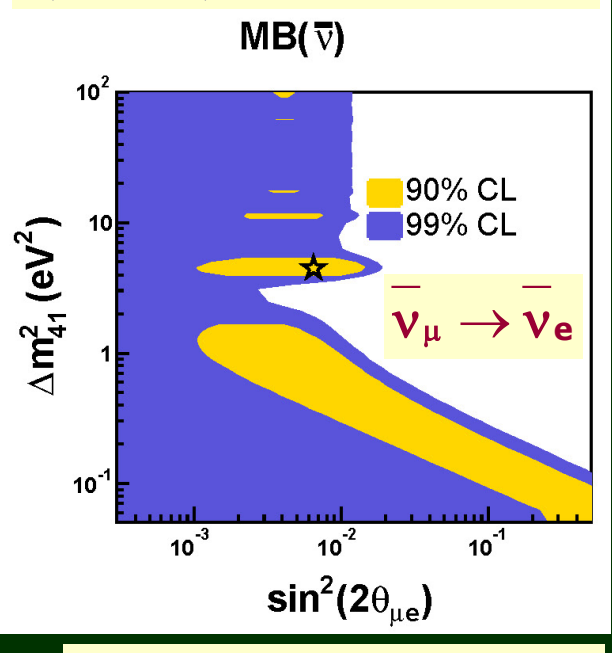
E~1GeV, L~1km, (L/E)<sub>MB</sub>=(L/E)<sub>LSND</sub>







#### 反ニュートリノモード (2010) (肯定的)



1995 LSNDは本当か?



2007 LSNDは間違っていた!



**2010 LSND**はあっていた?

#### 原子炉ニュートリノ異常(RAA)

Mueller et al, 2011; Huber 2011

2011年に原子炉vフラックスの再評価が出て、過去のデータはむしろ  $ar
u_e 
ightarrow ar
u_e$ 

の欠損を示唆しているという解釈が現れた

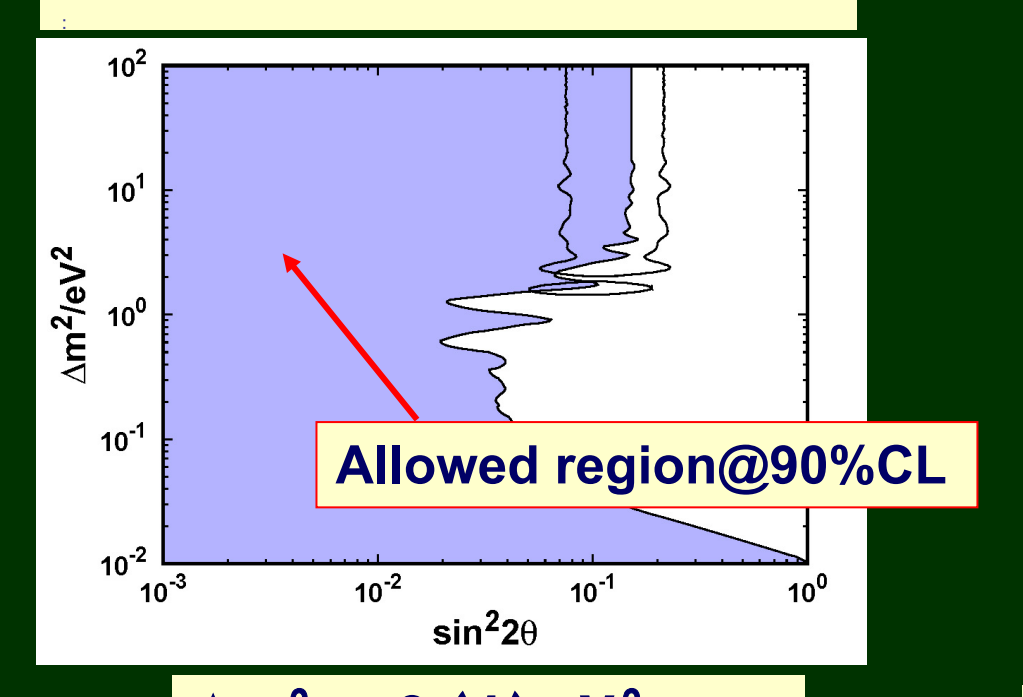
Cf. フラックス規格化の不定性は3%以上 Hayes et al, arXiv:1309.4146 [nucl-th]

(新フラックス)= (旧フラックス)×1.03

Bugey(原子炉  $\bar{\nu}_e \rightarrow \bar{\nu}_e$  ): 否定的 with old flux



#### Bugey(原子炉)+etc: 肯定的 with new flux?



Allowed region@90%CL 10-1 10-2 10-1 100 sin<sup>2</sup>2θ

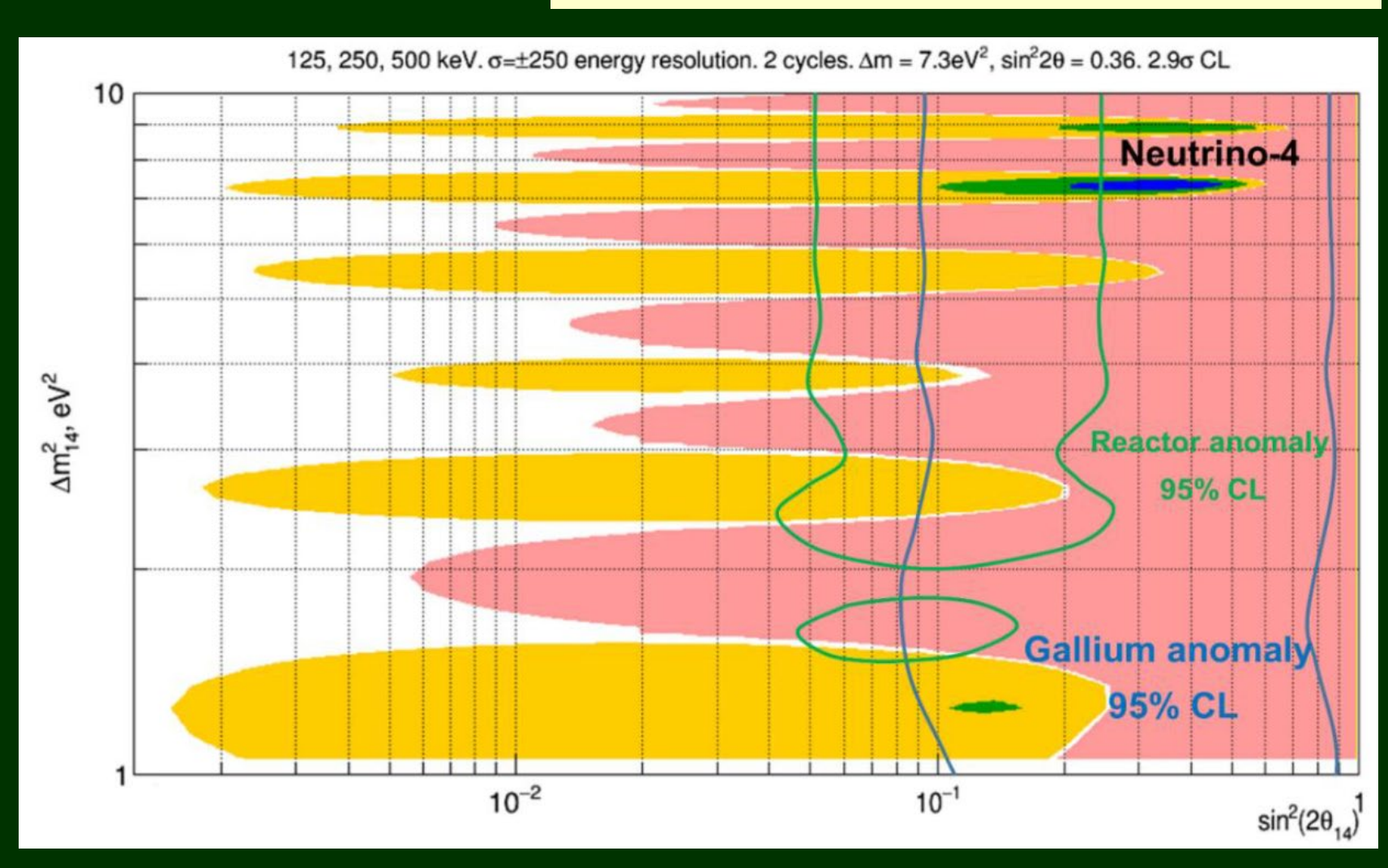
**Δ m**<sup>2</sup><sub>41</sub> = **O** (1) eV<sup>2</sup> の領域には∨振動はない



 $\Delta m_{41}^2 = O(1) eV^2$ の領域に $\vee$ 振動があるかもしれない

#### 近年Neutrino-4実験が肯定的結果を出している

Neutrino-4, arXiv: 2005.05301 [hep-ex]



ガリウム異常

Giunti-Laveder, 1006.3244v3 [hep-ph]

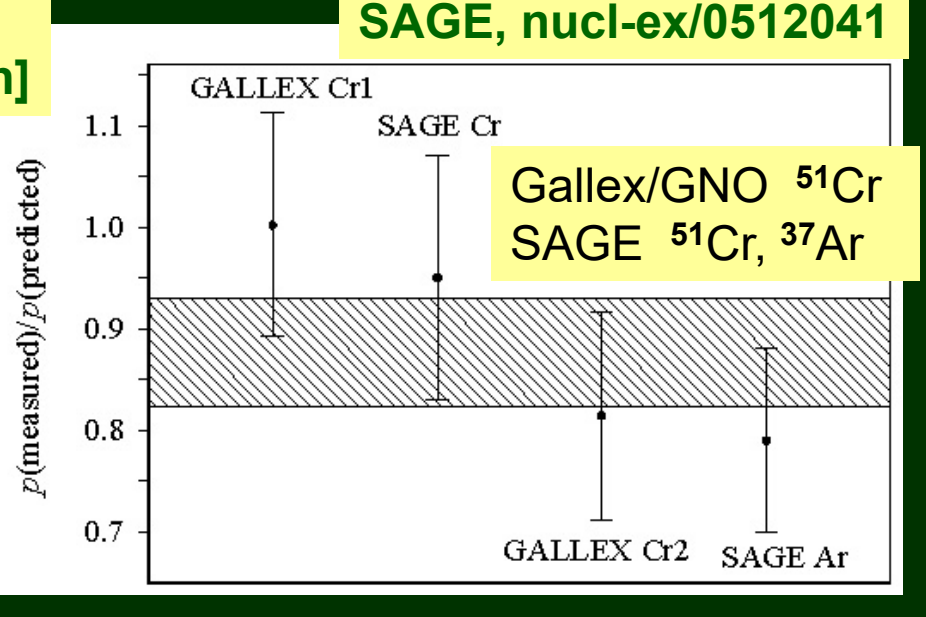
RAA 95% (allowed)

Neutrino-4  $2\sigma$  (allowed)

ガリウム太陽 ٧ 実験の較正

$$R \equiv \frac{\text{p(measured)}}{\text{p(predicted)}} = 0.88 \pm 0.05(1\sigma)$$

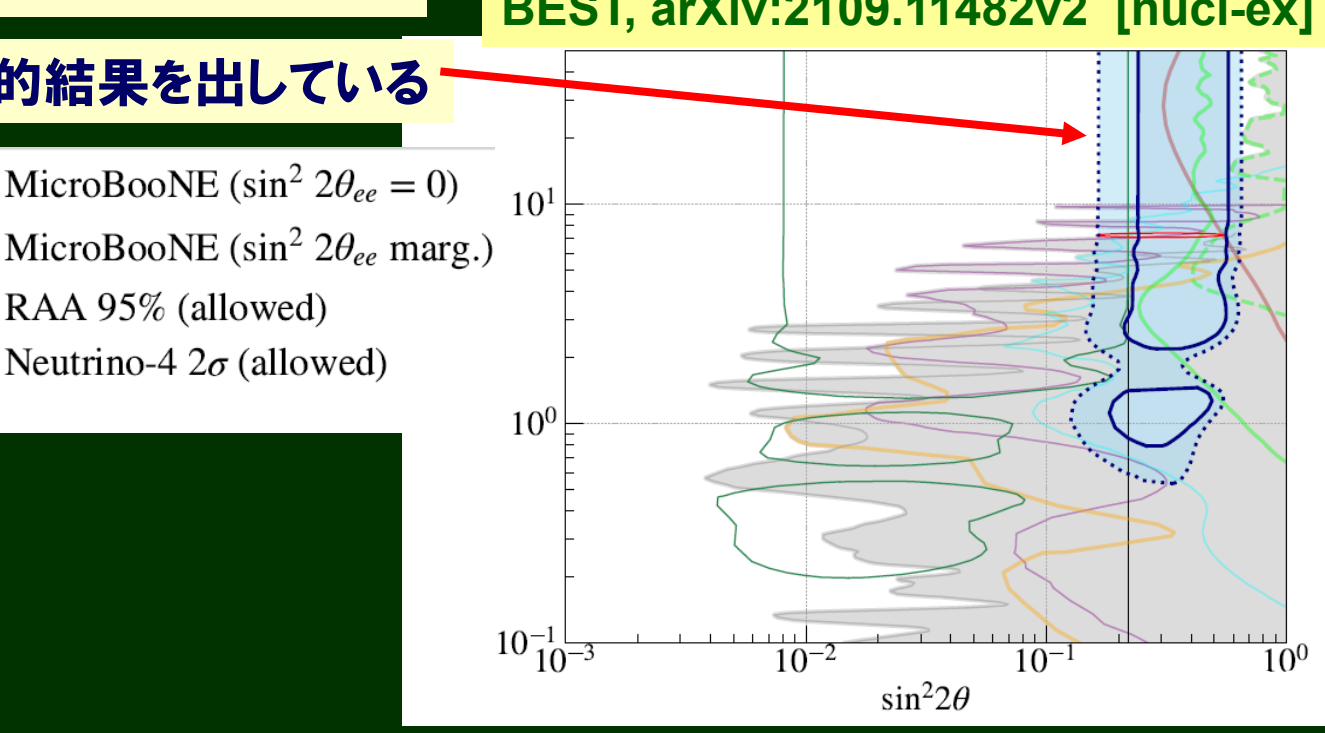
ガリウム太陽 v 実験の較正の結果 はactive-sterile v振動によるveの 消失の兆候と解釈することが可能



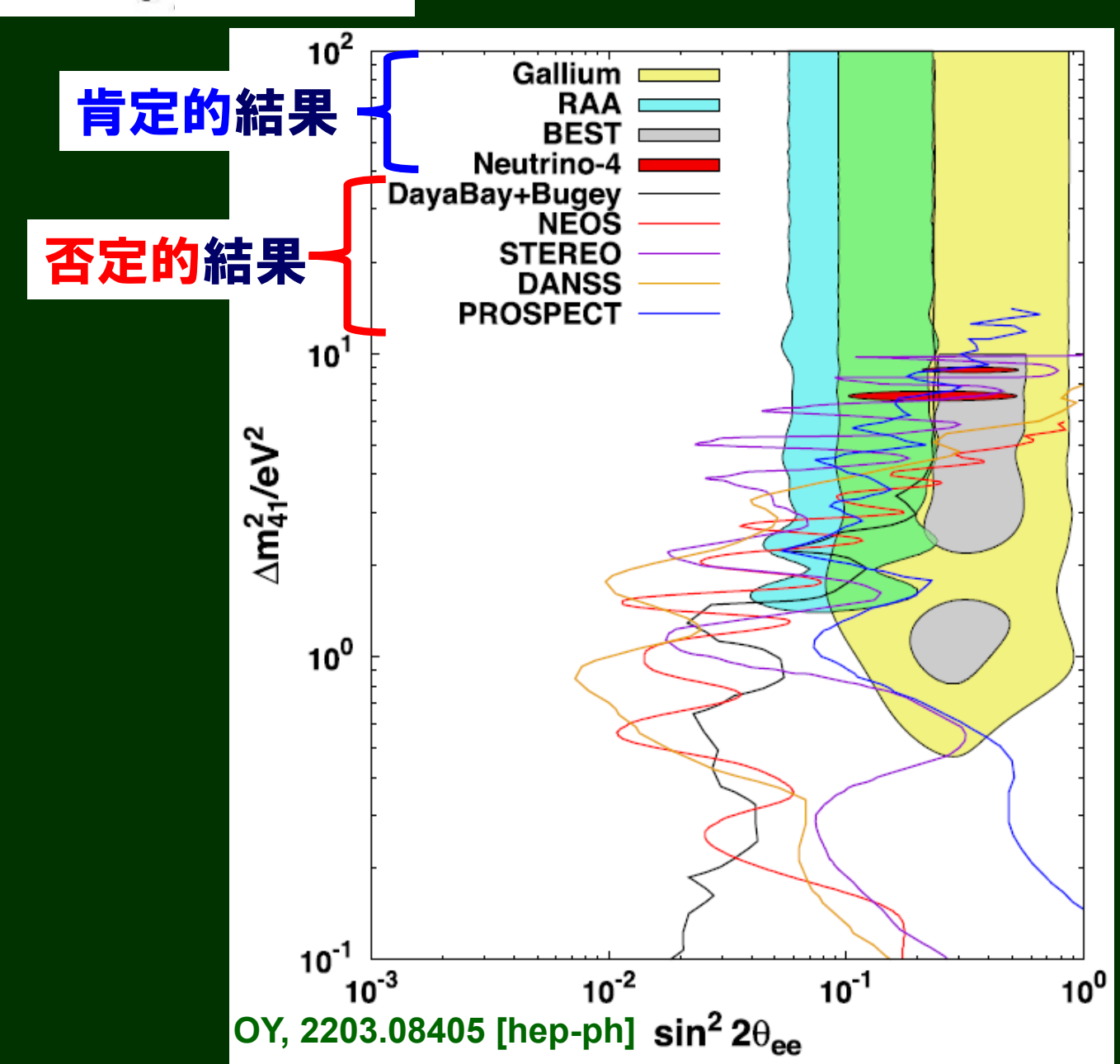
#### BEST, arXiv:2109.11482v2 [nucl-ex]



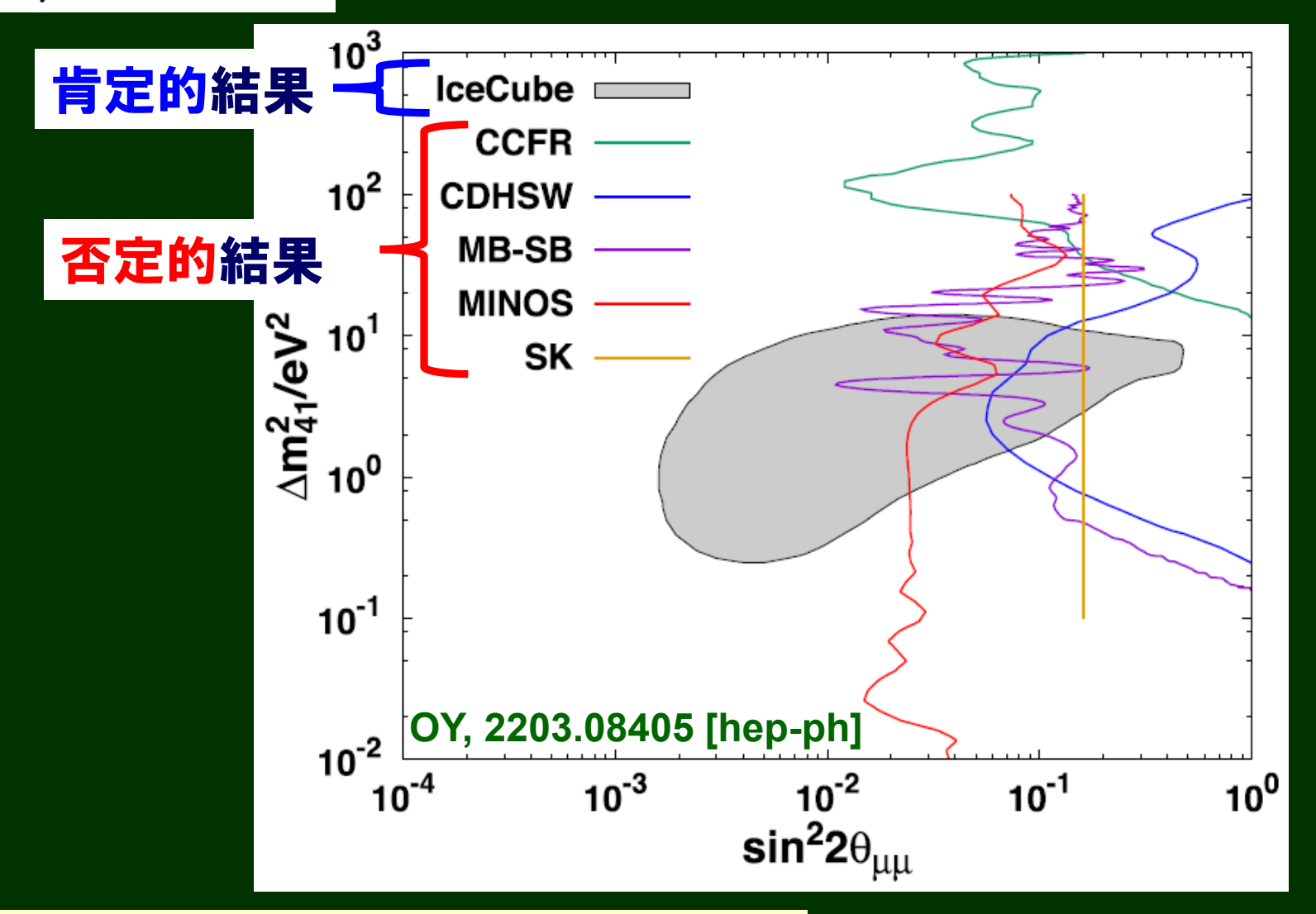
- **DANSS** 90%
- Prospect 95%
- Stéréo 95%
- RENO+NEOS 95%
- KATRIN 95%
- All Ga  $3\sigma$
- All Ga  $2\sigma$
- All solar  $\nu_e$ 's 95%
- Excluded by VSBL



# $ar u_e ightarrow ar u_e$ の現状



## $ar u_\mu ightarrow ar u_\mu$ の現状



IceCube実験が1.7oで肯定的結果を出してはいるが、 強い証拠とは考えられていない

#### 1.5 4世代ニュートリノ混合の現象論

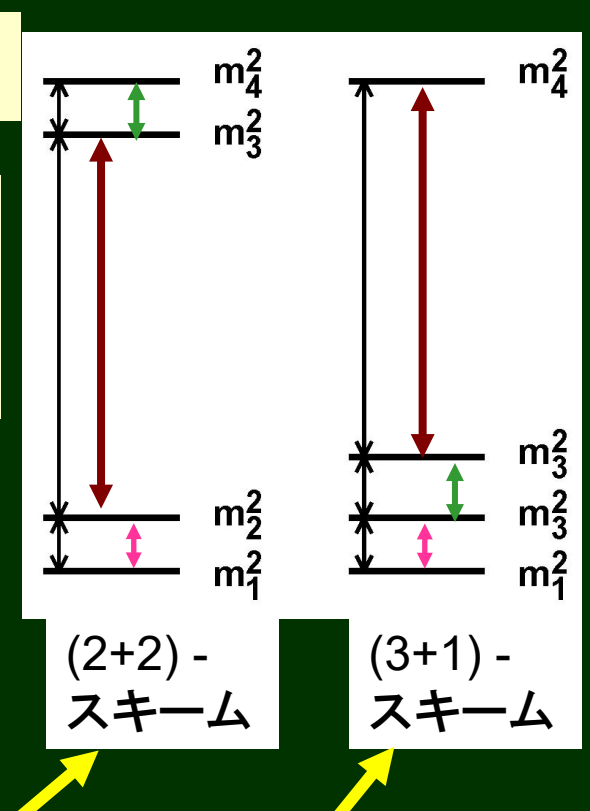
- ●太陽 v ・KamLAND (原子炉 v )
  - $\Rightarrow \Delta m_{21}^2 = 8 \times 10^{-5} eV$
- ◆大気∨・K2K(加速器  $\nu$ ) ⇒  $|\Delta m_{32}^2| = 2.5 \times 10^{-3} \text{ eV}^2$
- ●LSND/MB、原子炉∨異常、Ga異常  $\Rightarrow \Delta m_{41}^2 \cong 1eV^2$

△m<sup>2</sup>が3つ ある4世代 パターン

CERNのLEP実験('89-'00) から弱い相互作用を する軽いニュートリノは3つしかない→第四のニュート リノはステライルニュートリノ (∨<sub>s</sub>)とせざるを得ない

$$(v_e, v_\mu, v_\tau, v_s)$$

現在では太陽∨+大気∨から 完全に排除されている



この講演では(3+1)スキームを仮定する

短距離では振動確率は近似的に最大の質量二乗差△m<sub>41</sub>2のみで表される

$$P(\nu_{\alpha} \to \nu_{\beta}) \simeq P(\bar{\nu}_{\alpha} \to \bar{\nu}_{\beta}) \simeq \left| \delta_{\alpha\beta} - \sin^2 2\theta_{\alpha\beta} \sin^2 \left( \frac{\Delta m_{41}^2 L}{4E} \right) \right|$$

### (3+1)-scheme

#### Bugey他(原子炉):否定的

$$P(\bar{\nu}_e \to \bar{\nu}_e) = 1 - 4|U_{e4}|^2(1 - |U_{e4}|^2)\sin^2(\Delta m_{41}^2 L/4E)$$

$$\sin^2 2\theta_{reactor} = 4 |U_{e4}|^2 (1 - |U_{e4}|^2) \cong 4 |U_{e4}|^2$$

#### CDHSW(加速器)他:否定的

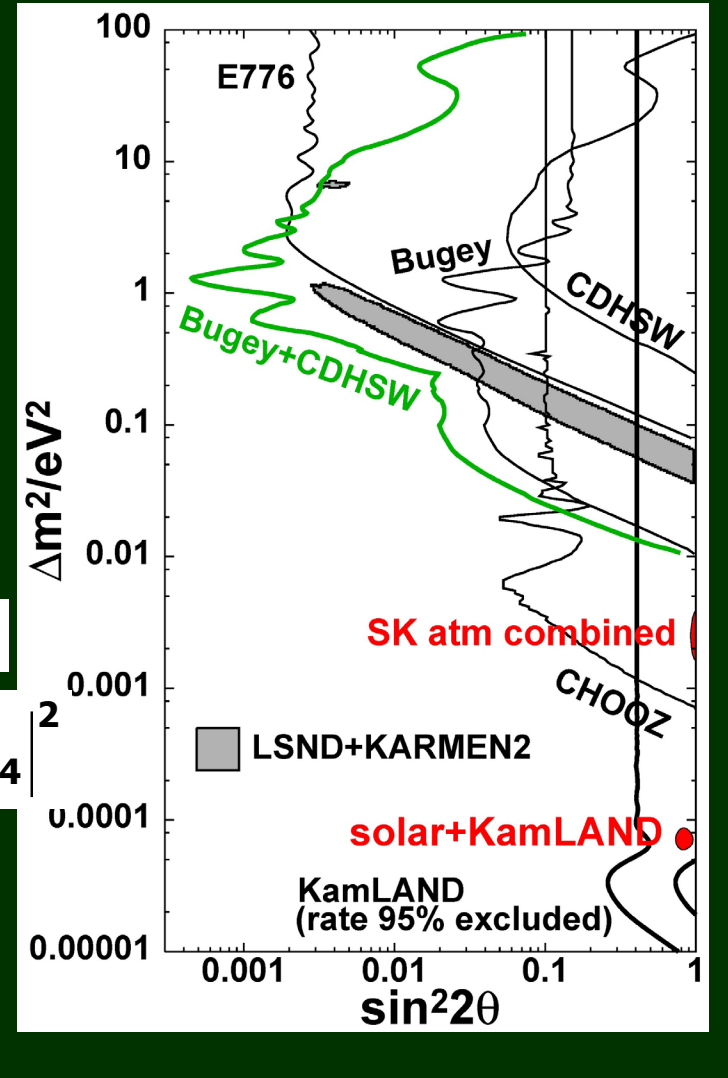
$$P(\nu_{\mu} \to \nu_{\mu}) = 1 - 4|U_{\mu 4}|^2(1 - |U_{\mu 4}|^2)\sin^2(\Delta m_{41}^2 L/4E)$$

$$ext{sin}^2 2 heta_{v \; (\mu) ext{disappear}} > 4 \left| extsf{U}_{\mu 4} 
ight|^2 (1 - \left| extsf{U}_{\mu 4} 
ight|^2) \cong 4 \left| extsf{U}_{\mu 4} 
ight|^2$$

#### **LSND** $P(\bar{\nu}_{\mu} \to \bar{\nu}_{e}) = 4|U_{e4}|^{2}|U_{\mu 4}|^{2}\sin^{2}(\Delta m_{41}^{2}L/4E)$

加速器): 肯定的

$$\mathsf{sin^22} heta_{\mathsf{v}\;(\mathsf{e})\;\;\mathsf{appear}} = \mathsf{4}ig| \mathsf{U_{e4}}ig|^2ig| \mathsf{U_{\mu 4}}ig|^2$$

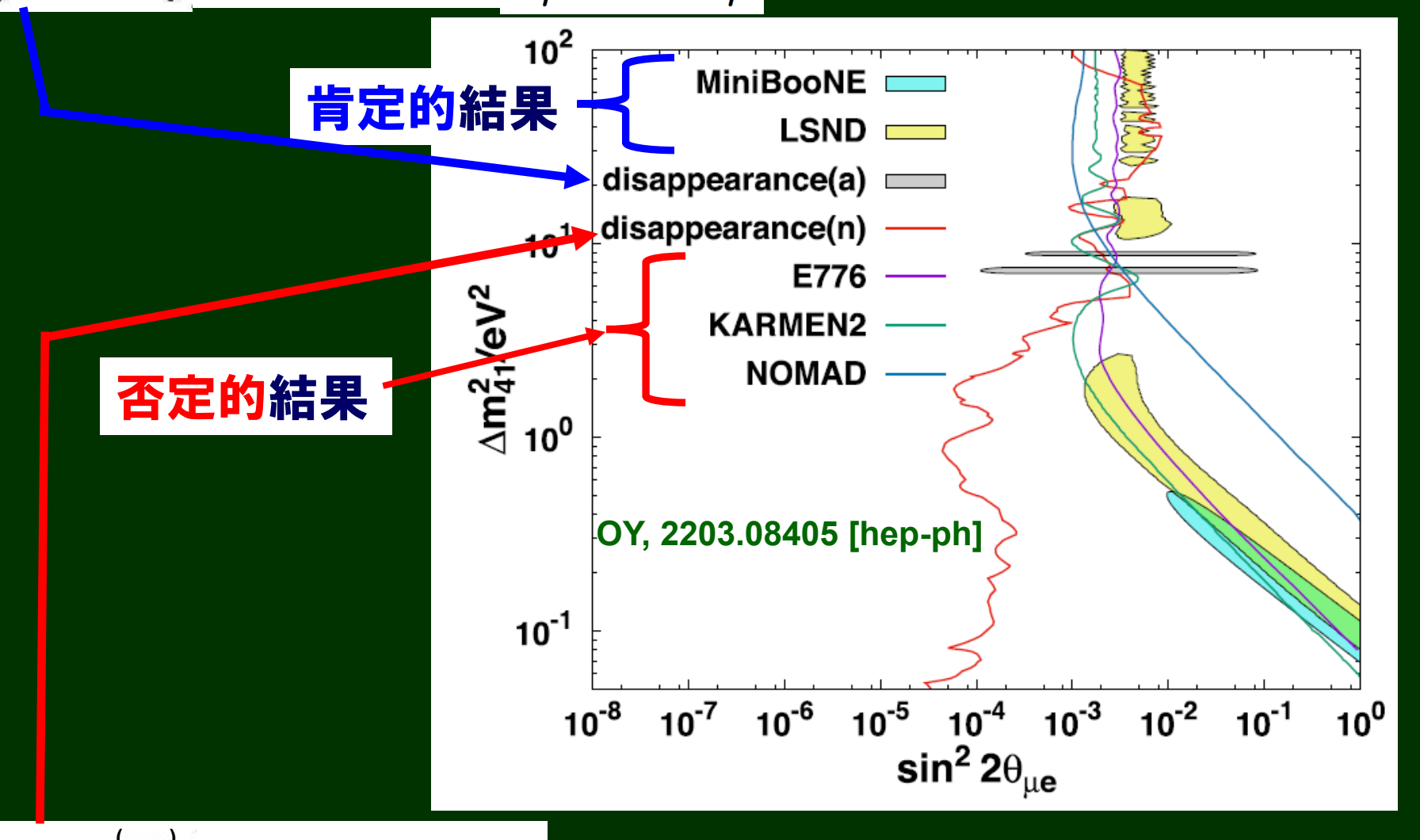


$$\sin^2 2\theta_{v (e) appear}(\Delta m^2) < \frac{1}{4} \sin^2 2\theta_{reactor}(\Delta m^2) \sin^2 2\theta_{v (\mu) disappear}(\Delta m^2)$$

を満たす必要があるがBugey+CDHSWの左側とLSNDの内側の重複は殆どない(Okada-OY Int.J.Mod.Phys.A12:3669,1997):tension

$$ar
u_\mu o ar
u_e$$
の現状

 $ar
u_e^{\dot{}} ar
u_e^{\dot{}}$  の肯定的結果と  $ar
u_\mu^{} ar
u_\mu^{} ar
u_\mu^{}$  の肯定的結果を組み合わせた領域



 $[ar
u_e^{'}
ightarrow (ar
u_e^{'})$  の否定的結果と  $[ar
u_\mu^{'}
ightarrow (ar
u_\mu^{'})
ightarrow (ar
u_\mu^{'})$  の否定的結果を組み合わせた上限

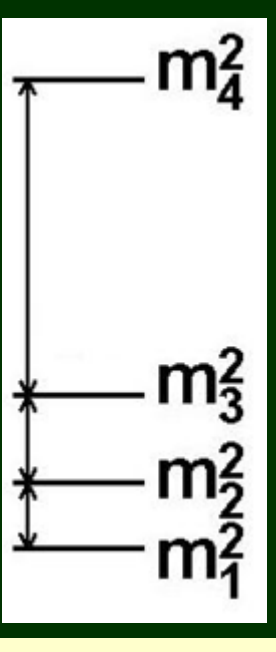
### **N**<sub>v</sub>=4の枠組

scheme	accelerator + reactor	solar + atmospheric
(3+1)	tension	<b>✓</b>
(2+2)	<b>√</b>	excluded

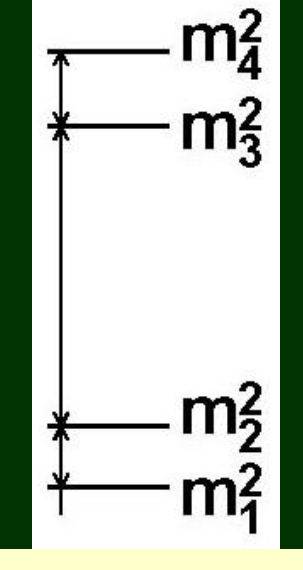
全てをうまく説明できるシナリオはない



原子炉 $\sqrt{z}$ 験を動機付けるにはLSND/MBをとりあえず忘れて  $\bar{\nu}_e \to \bar{\nu}_e$  の肯定的結果の検証を目指す



(3+1)-scheme



(2+2)-scheme

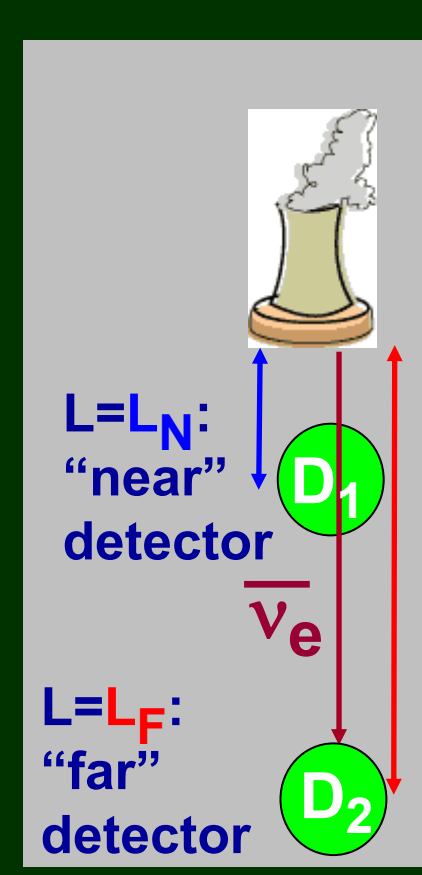
14/22

#### 2. 実験原子炉ニュートリノの混合角度θ14への感度

$$P(\bar{\nu}_e \to \bar{\nu}_e) = 1 - \sin^2 2\theta_{14} \sin^2 \left(\frac{\Delta m_{41}^2 L}{4E}\right)$$

至近距離の近距離L<sub>N</sub>と遠距離L<sub>F</sub>に測定器を置き、 L<sub>N</sub>とL<sub>F</sub>について感度を最適化

<E> $\sim$ 4MeV, L=10m $\rightarrow$ ナイーブには  $\Delta$ m<sup>2</sup> $\sim$ 1eV<sup>2</sup>程度の感度は期待できる



#### 2.1 商業炉の場合 (D=4m, h=4mの円筒形を仮定)

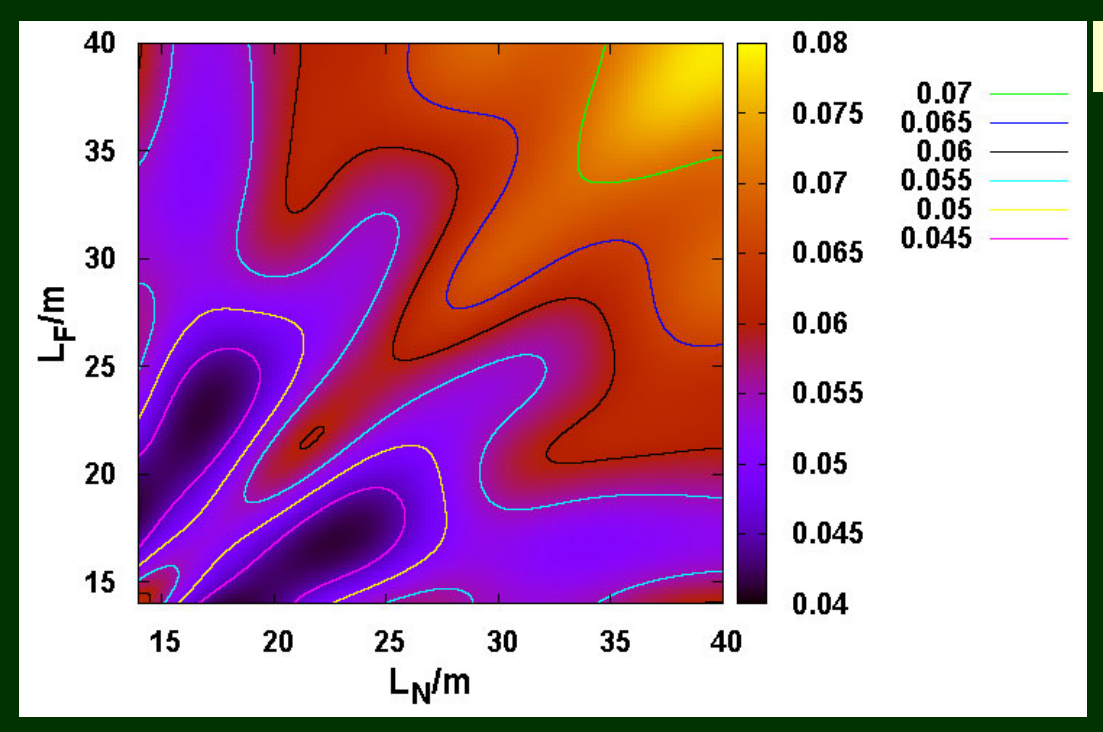
#### **Assumed parameters (a la Bugey)**

Power: 2.8 GW

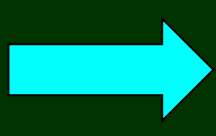
Power density~50MW/m<sup>3</sup>

Size of the core: Diameter=4m, Height=4m

#### Optimization w.r.t. baseline lengths $L_N$ , $L_F$ for $\Delta m^2=1eV^2$



OY, 1107.4766 [hep-ph]



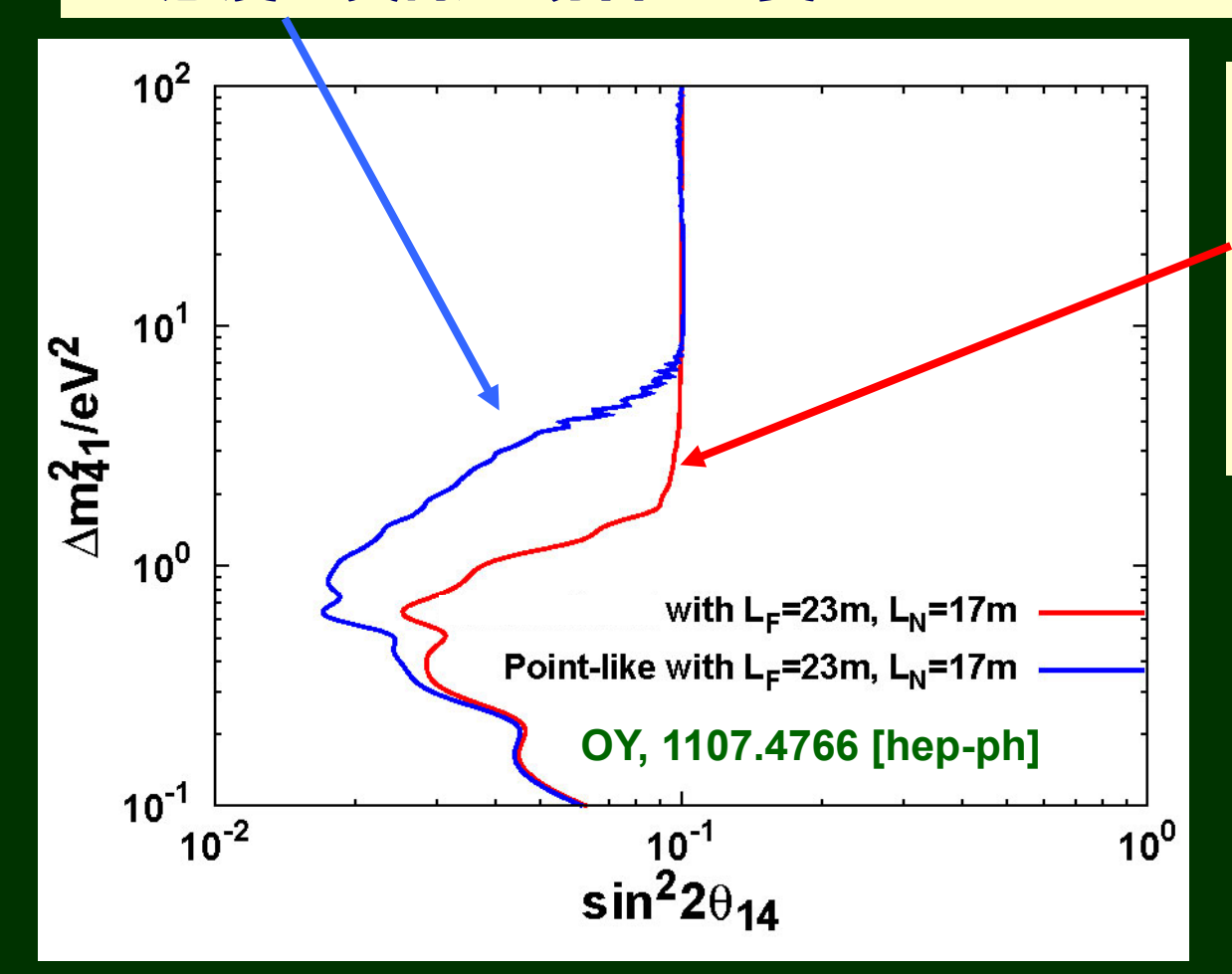
最適な距離の 組み合わせは L<sub>N</sub>=17m, L<sub>E</sub>=23m

#### 2.1 商業炉の場合 (D=4m, h=4mの円筒形を仮定)

最適な距離の組み合わせは L<sub>N</sub>=17m, L<sub>F</sub>=23m

青線: point-likeな炉心を持つと仮定した仮想的な場合

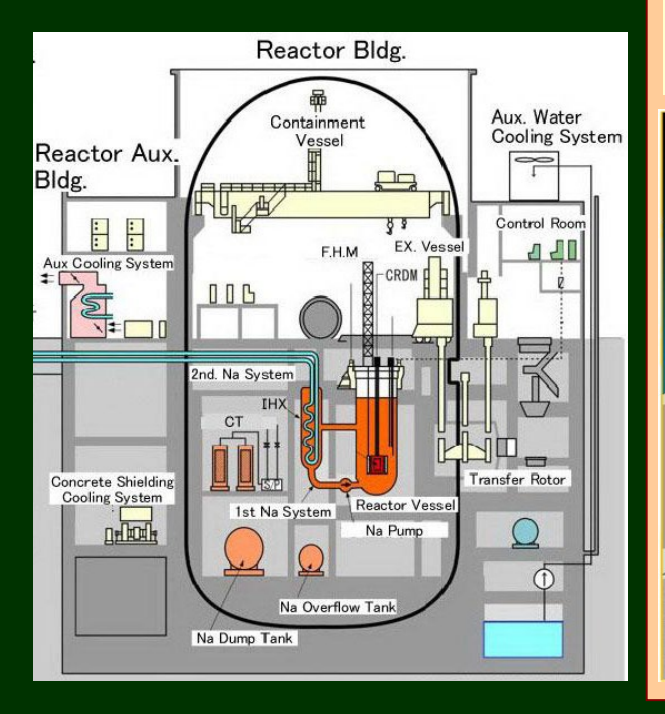
→ 感度は実際の場合より良い



赤線:実際の商業炉 →炉心の拡がりが無 視できず、 Δm<sup>2</sup>~2eV<sup>2</sup>の場合、 感度が劣化

#### 2.2 小さな炉心を持つ実験炉

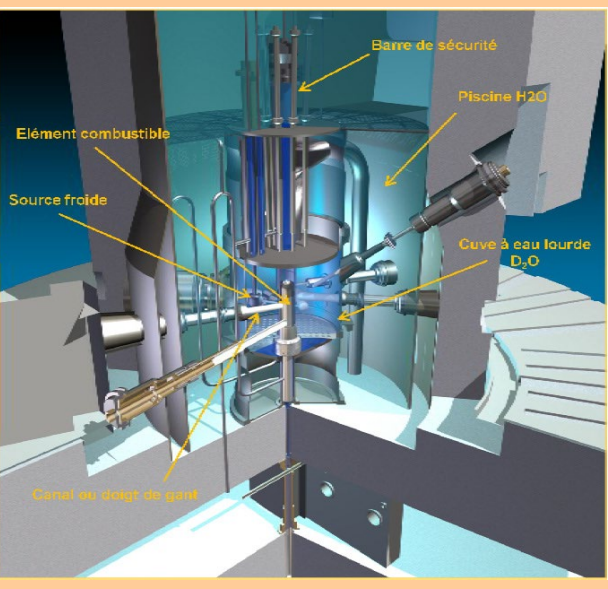
● 常陽(茨城県大 洗): D=0.8m, h=0.5m, P<sub>th</sub>=140MW



#### **Nucifer project**

●ILL reactor (Grenoble, France):D=0.4m, h=0.8m, P<sub>th</sub>=58MW

●Osiris reactor (Saclay, France): 0.57m×0.57m× 0.6m, P<sub>th</sub>=70MW





Power density~500MW/m<sup>3</sup>

cf. ~50MW/m<sup>3</sup> for commercial reactors

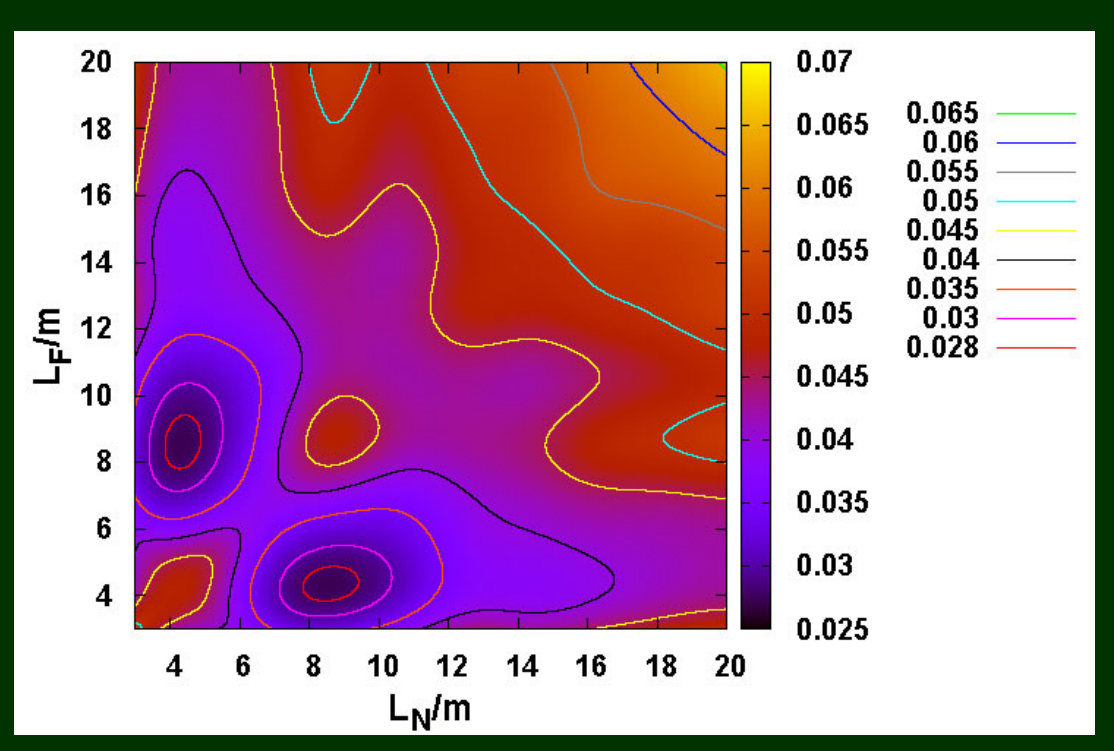
Joyo (A fast neutron reactor)

#### **Assumed parameters**

Power: 0.14 GW

Size of the core: Diameter=0.8m, Height=0.5m

#### Optimization w.r.t. baseline lengths $L_N$ , $L_F$ for $\Delta m^2=1eV^2$

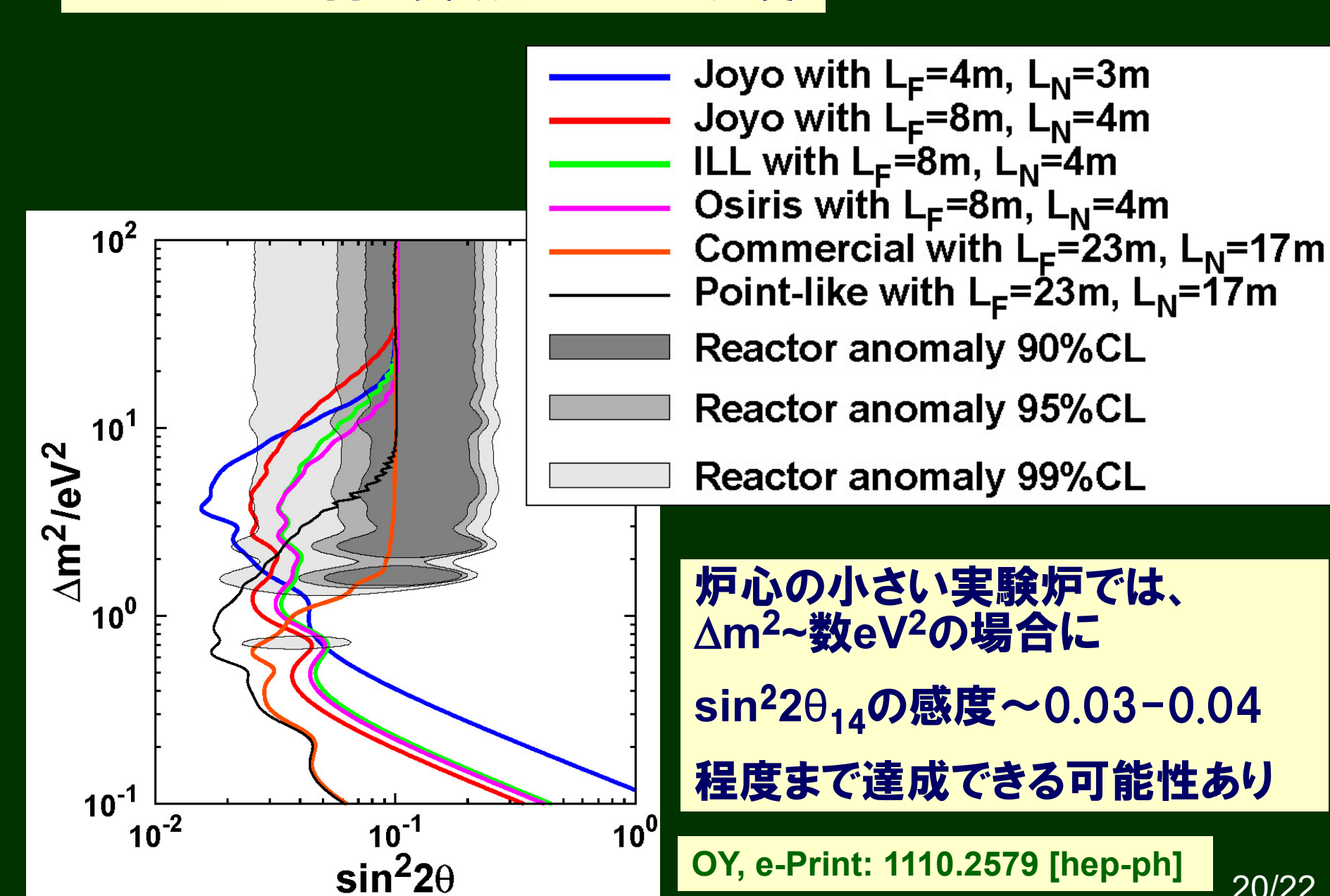


OY, 1107.4766 [hep-ph]



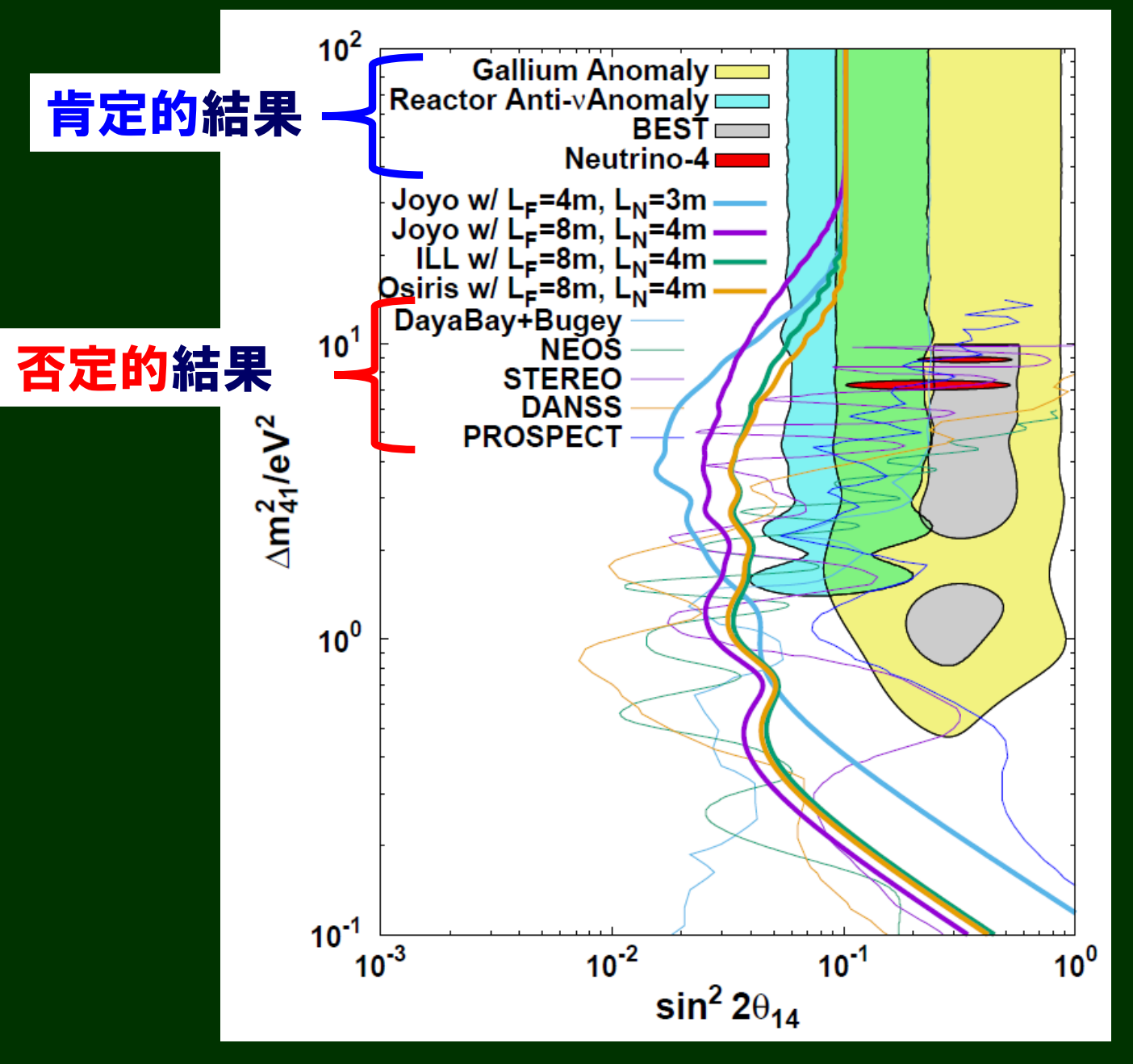
最適な距離の 組み合わせは L<sub>N</sub>=4m, L<sub>F</sub>=8m

#### 小さな炉心を持つ実験炉における感度



20/22

小さな炉心を持つ実験炉: 近年の原子炉 ッ実験と比較しても遜色なし



### 3. まとめ

- 原子炉∨フラックスの再評価により、質量二乗差
   Δm²~O(1eV²) のステライル∨振動のシナリオが再度注目されている。
- $m{v}_{\mu} 
  ightarrow ar{
  u}_e$ のLSND/MiniBooNEは、 $ar{
  u}_e 
  ightarrow ar{
  u}_e$ の原子 $m{v}_{\nu}$ の否定的結果と $ar{
  u}_{\mu} 
  ightarrow ar{
  u}_{\mu}$ の加速器 $_{\nu}$ の否定的結果を組み合わせた上限値と矛盾しており、一部(あるいは全部)を無視しないと $_{
  u}$ 振動と解釈できない。
- 研究炉は一般的に炉心が小さく、それらの施設における√の測定により、原子炉√異常、ガリウム異常のテストができる可能性がある。
- △m²>1eV² に対して原子炉∨実験から質量二乗差の情報を得るには、炉心の拡がりの効果を避けるため、小さな炉心の強力な出力の原子炉を使う必要がある。

### **Backup slides**

# 2. Analysis of a reactor neutrino oscillation experiment with one reactor & two detectors

$$\chi^{2} = \min_{\alpha's} \left\{ \sum_{A=N,F} \sum_{i=1}^{n} \frac{1}{(t_{i}^{A} \sigma_{i}^{A})^{2}} \left[ m_{i}^{A} - t_{i}^{A} (1 + \alpha + \alpha^{A} + \alpha_{i}) - \alpha_{\text{cal}}^{A} t_{i}^{A} v_{i}^{A} \right]^{2} + \sum_{A=N,F} \left[ \left( \frac{\alpha^{A}}{\sigma_{\text{dB}}} \right)^{2} + \left( \frac{\alpha_{\text{cal}}^{A}}{\sigma_{\text{cal}}} \right)^{2} \right] + \sum_{i=1}^{n} \left( \frac{\alpha_{i}}{\sigma_{\text{Db}}} \right)^{2} + \left( \frac{\alpha}{\sigma_{\text{DB}}} \right)^{2} \right\}.$$

OY, arXiv: 1107.4766 [hep-ph]

m<sup>A</sup><sub>i</sub>: Measured numbers of events

t<sup>A</sup><sub>i</sub>: Theoretical prediction

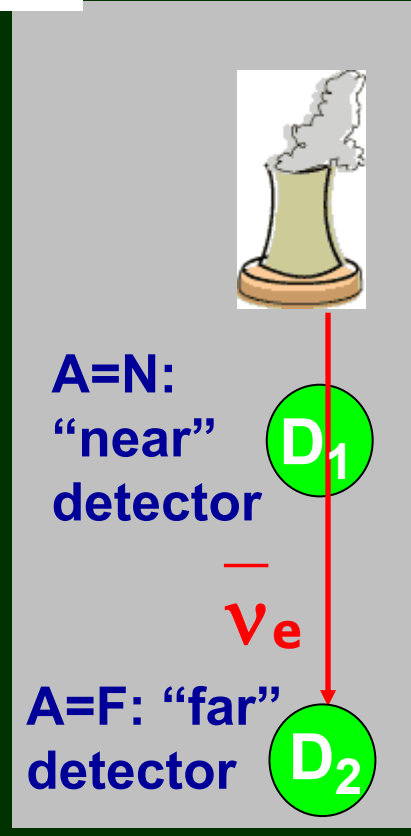
v<sup>A</sup><sub>i</sub>: Variation due to energy calibration error

$$(t_i^A \sigma_i^A)^2 = t_i^A + \left(t_i^A \sigma_{\mathrm{db}}^A\right)^2$$

statistical errors

systematic errors

In the present case  $\sigma_{\text{stat}} > \sigma_{\text{sys}}$ : statistical errors are more important



#### Assumed systematic errors: those of Bugey experiment

 $\sigma_{DB}$ : correlated wrt detectors, correlated wrt bins = 3%

 $\sigma_{Db}$ :correlated wrt detectors, uncorrelated wrt bins = 2%

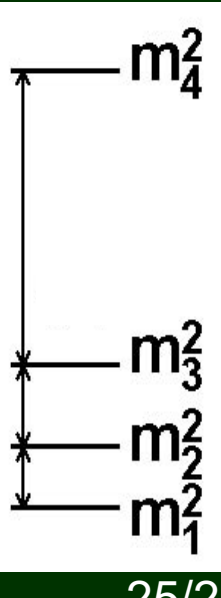
 $\sigma_{dB}$ : uncorrelated wrt detectors, correlated wrt bins = 0.5%

 $\sigma_{db}$ : uncorrelated wrt detectors, uncorrelated wrt bins = 0.5%

 $\sigma_{cal}$ : energy calibration error for each bin = 0.6%

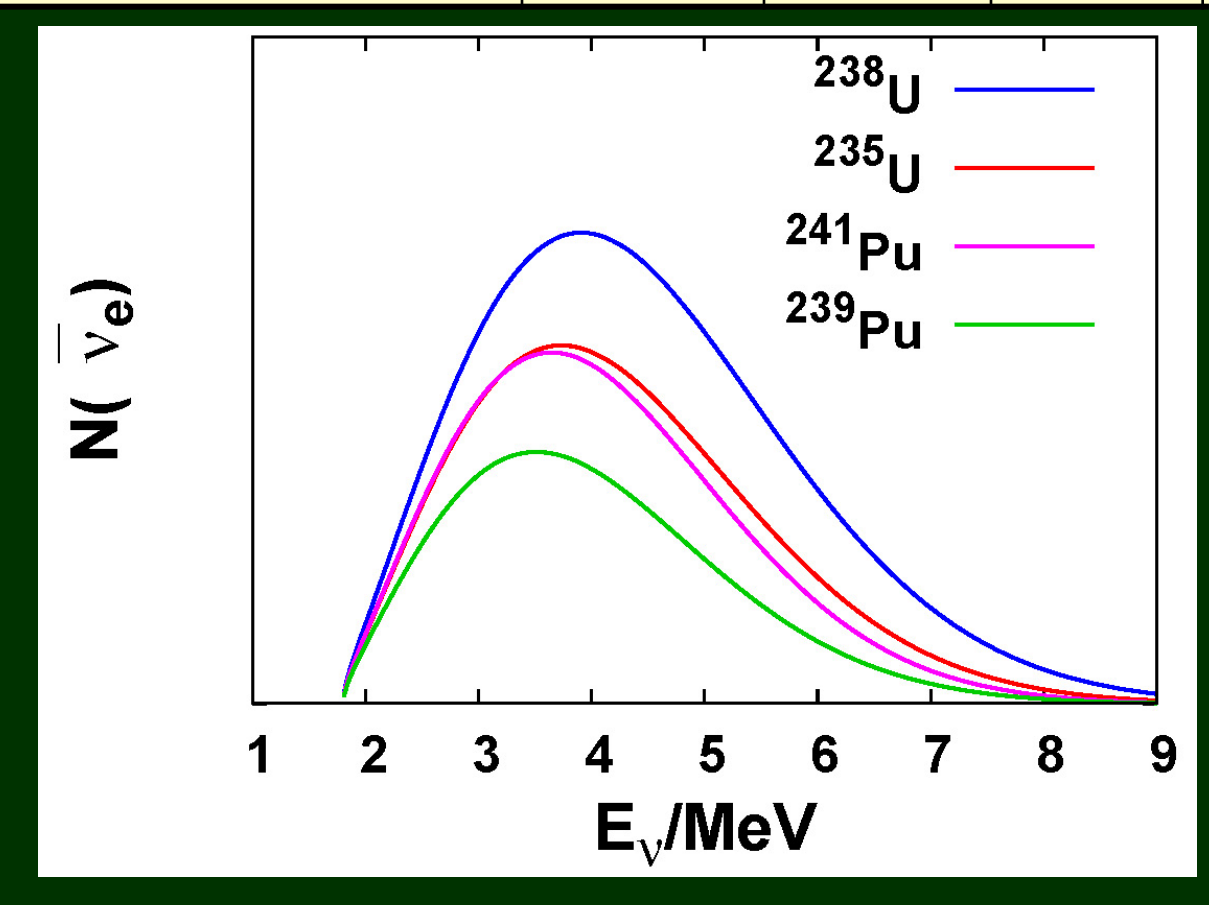
#### Formula for oscillation probability

$$P(\bar{\nu}_e \to \bar{\nu}_e) = 1 - \sin^2 2\theta_{14} \sin^2 \left(\frac{\Delta m_{41}^2 L}{4E}\right)$$



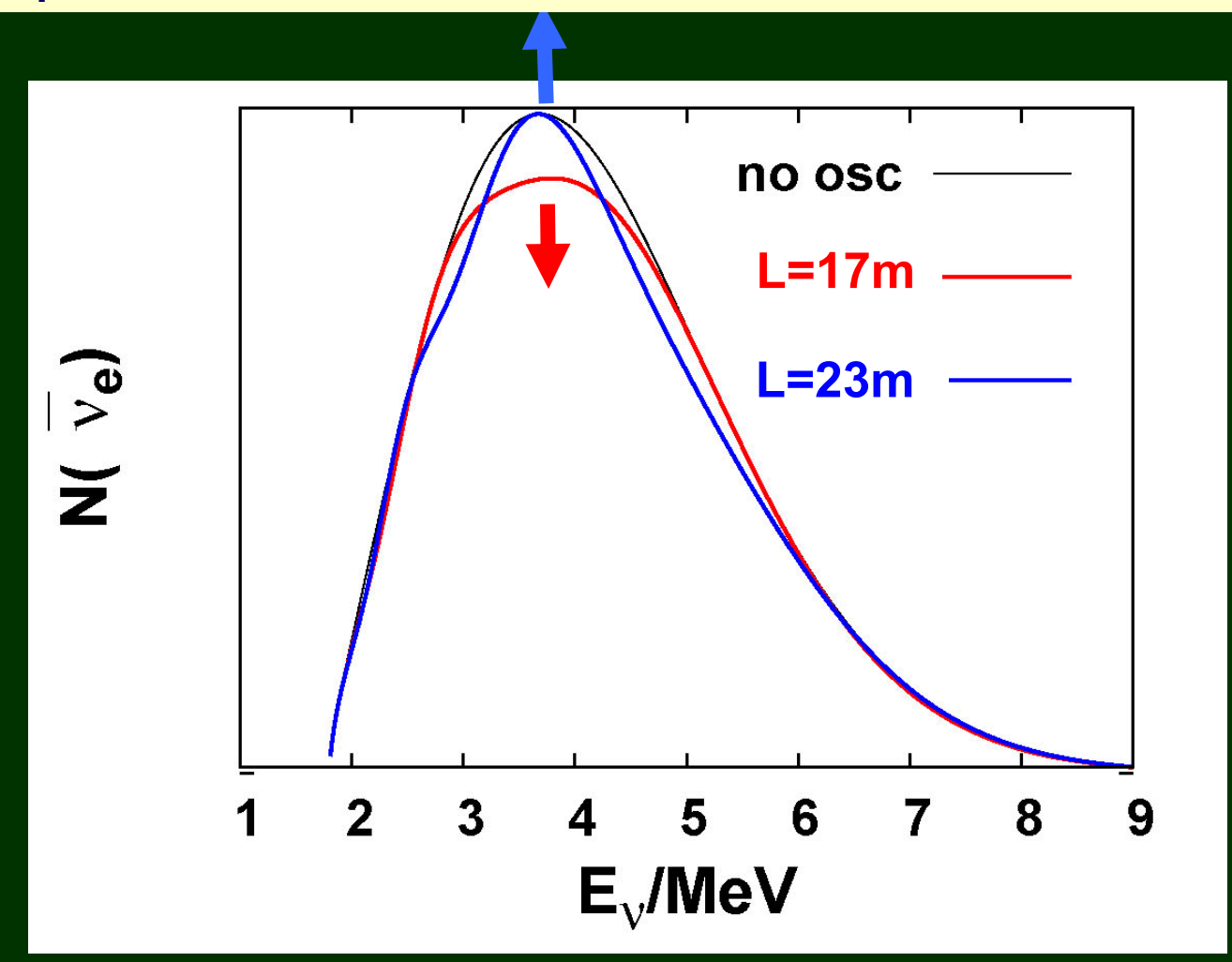
#### **Composition of Thermal Neutron Reactor & Fast Neutron Reactor**

	235 <sub>U</sub>	<sup>239</sup> Pu	<sup>238</sup> U	<sup>241</sup> Pu
Thermal Neutron Reactor (w/ H <sub>2</sub> O)	53.8%	32.8%	7.8%	5.6%
Fast Neutron Reactor	37.1%	51.3%	7.3%	4.3%



The role of a "near" detecor in the energy spectrum analysis for  $\Delta m^2=1eV^2$ 

The difference at  $\langle E \rangle \sim 4 \text{MeV}$  is most significant for  $L_N$ ,=17m  $L_F$ =23m



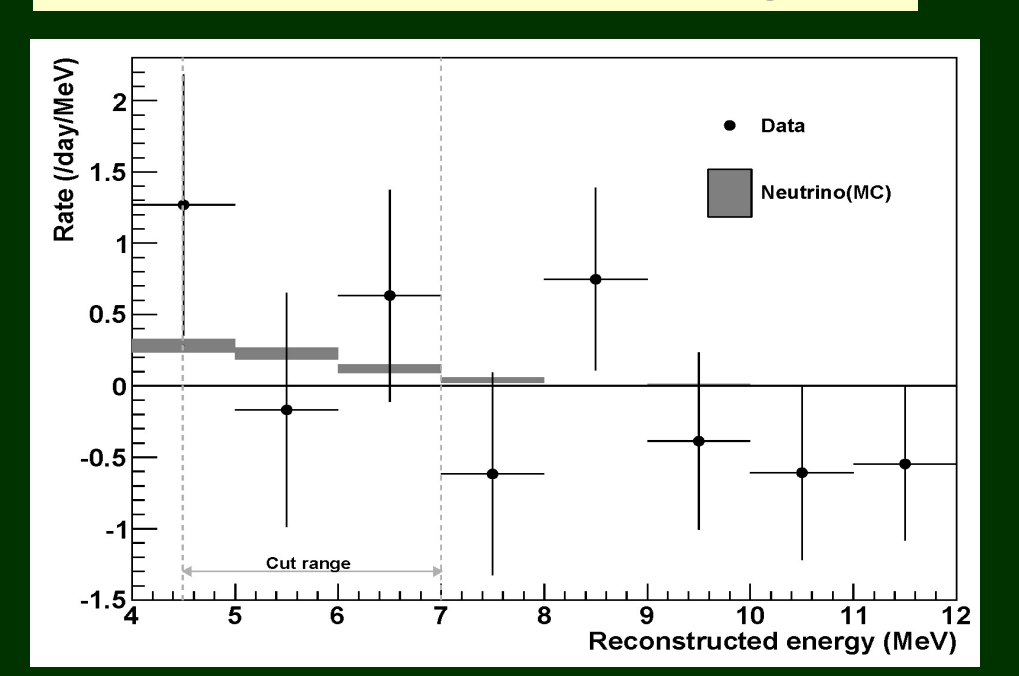
#### A Study of Reactor v Monitoring at Experimental Fast Reactor JOYO

**H.Furuta et al., arXiv:1108.2910v1** [hep-ex]

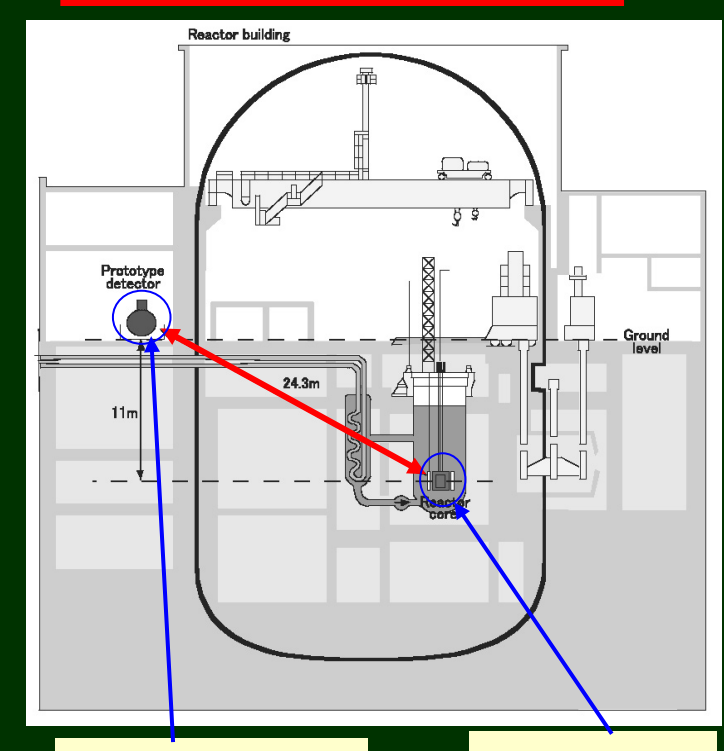
L=24.3m; about 150 vp → e<sup>+</sup>n reactions/day

The measured  $\nu$  event rate from reactor on-off comparison was  $1.11\pm1.24(stat.)\pm0.46(syst.)$  events/day.

The statistical significance of the measurement was not enough.



Their motivation: to detect  $\nu$  from a fast reactor (not motivated by  $\nu_s$ )



Prototype detector

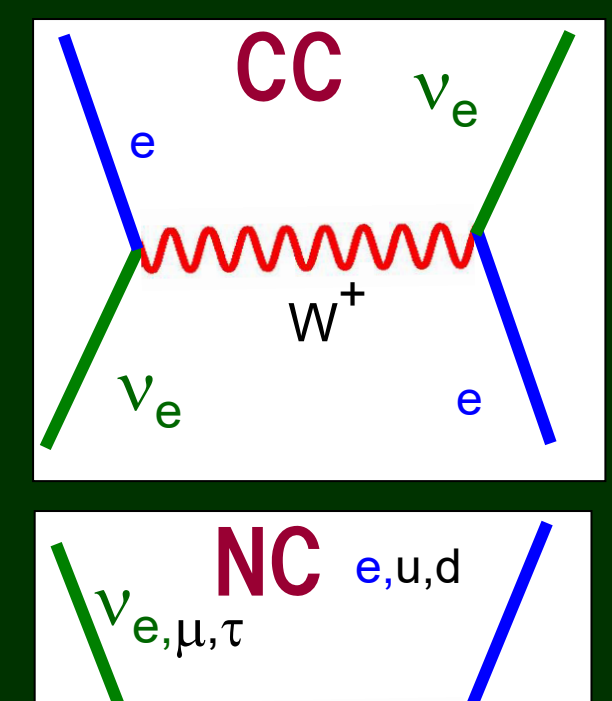
Reactor core

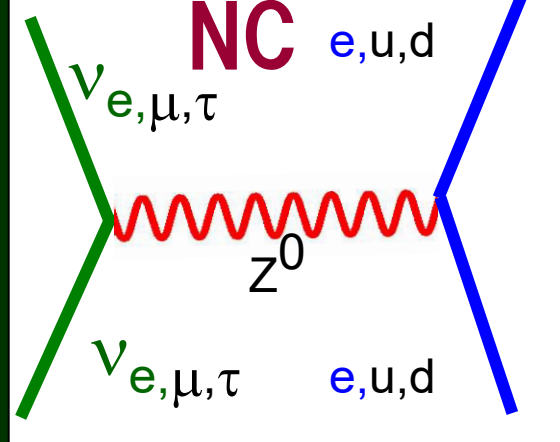
#### V伝播中の物質効果(MSW効果)

	ν <sub>e</sub>	$v_{\mu}, v_{\tau}$	Vs
СС	0	×	×
NC	0	0	×
V	V <sub>CC</sub> + V <sub>NC</sub>	V <sub>NC</sub>	0

$$V_{cc} = \sqrt{2}G_F N_e$$

$$V_{NC} = -(1/\sqrt{2})G_FN_n$$





$$-\mathcal{L}_{\nu_{\ell}}^{\text{mat}} = \frac{G_F}{\sqrt{2}} \nu_{\ell}^{\dagger} (1 - \gamma_5) \nu_{\ell} \sum_{f} N_f (\delta_{\ell f} + T_{3f_L} - 2\sin^2 \theta_W Q_f)$$

#### ∨伝播中の物質効果(MSW効果)

$$i\frac{d}{dx} \begin{bmatrix} v_e \\ v_{\mu} \\ v_{\tau} \\ v_s \end{bmatrix} = \begin{bmatrix} U \begin{bmatrix} E_1 & 0 & 0 & 0 \\ 0 & E_2 & 0 & 0 \\ 0 & 0 & E_3 & 0 \\ 0 & 0 & 0 & E_4 \end{bmatrix} U^{-1} + \begin{bmatrix} v_{cc} + v_{Nc} & 0 & 0 & 0 \\ 0 & v_{Nc} & 0 & 0 \\ 0 & 0 & 0 & 0 & 0 \end{bmatrix} \begin{bmatrix} v_e \\ v_{\mu} \\ v_{\tau} \\ v_s \end{bmatrix}$$

フレーバー固有状態について単位行列に比例する項は 確率振幅の位相にしか効かないので差し引いた

### 大気vが主として $v_{\mu} \Leftrightarrow v_{s}$ でない理由

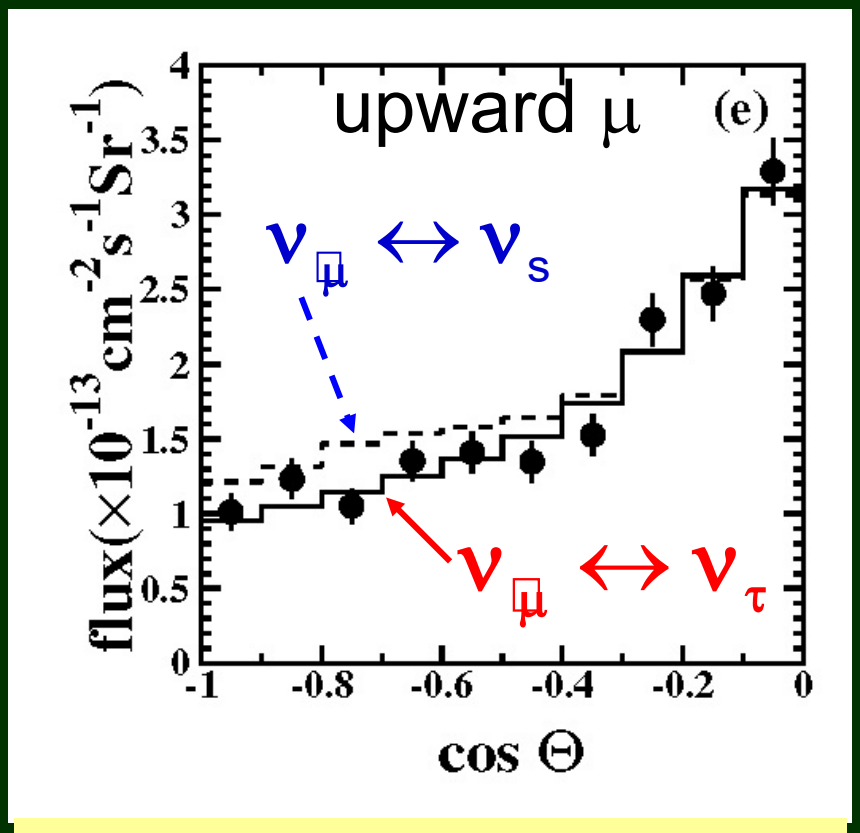
### $V_{\mu} \Leftrightarrow V_{\tau}$ :真空振動

$$P\left(\nu_{\mu} \rightarrow \nu_{\tau}\right) = \sin^{2}2\theta \sin^{2}\left(\frac{\Delta EL}{2}\right)$$

$$\Delta \, E = E_2 - E_1 \cong \frac{m_2^2 - m_1^2}{2E} = \frac{\Delta \, m^2}{2E}$$

### $V_{\mu} \Leftrightarrow V_{S}$ :物質中振動

$$P\left(v_{e} \rightarrow v_{\mu}\right) = \sin^{2}2\widetilde{\theta} \sin^{2}\left(\frac{\Delta EL}{2}\right)$$



SK collaboration, PRL 85('00)3999

$$\Delta \widetilde{E} = \left[ (\Delta E \cos 2 \theta + V_{NC})^2 + (\Delta E \sin 2 \theta)^{1/2} \right]$$

$$\tan 2\widetilde{\theta} = \frac{\Delta E \sin 2\theta}{\Delta E \cos 2\theta + V_{NC}}$$

$$\theta = \pi/4$$
ならば物質中の混合角度は  $\theta = \pi/4$ とはならない

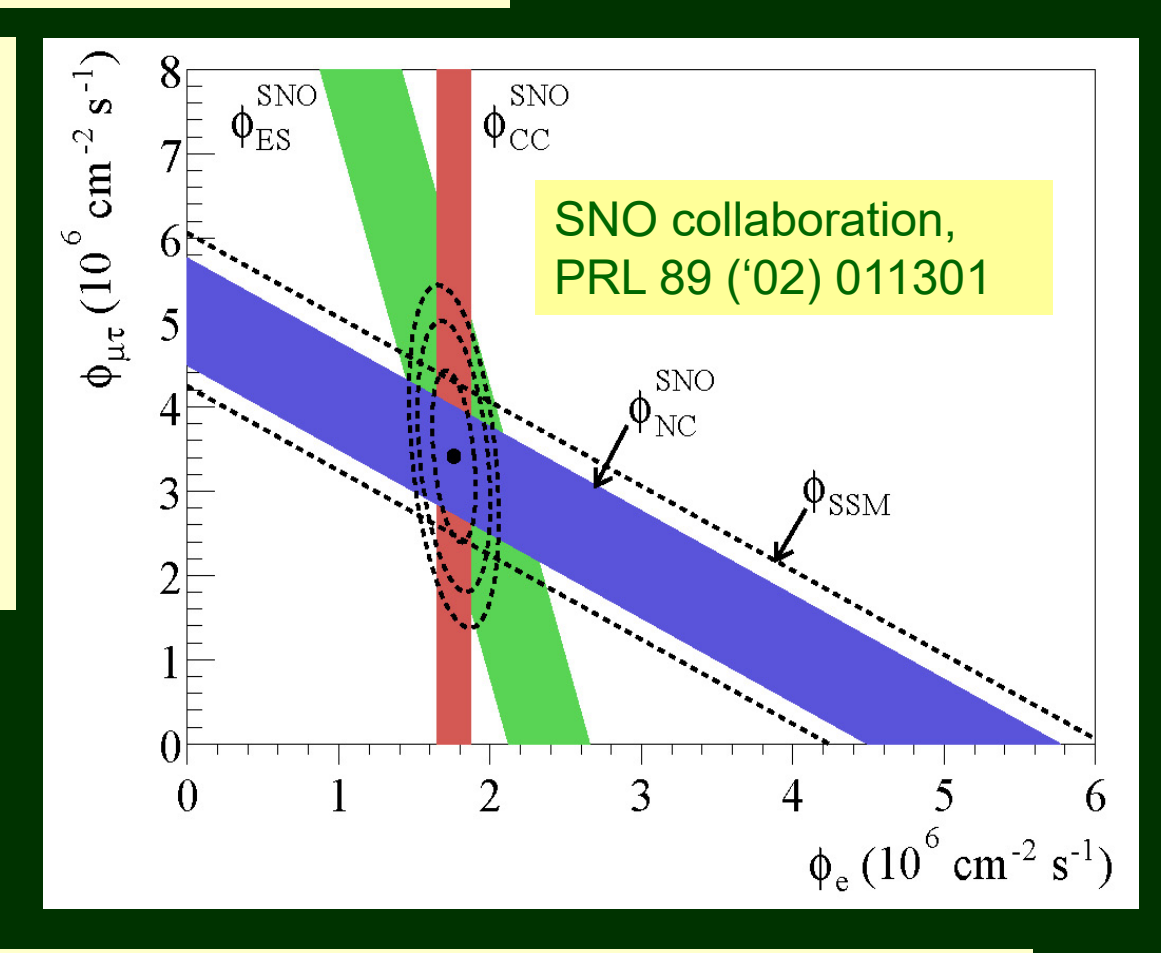
### 太陽Vが主として $V_{\mu} \Leftrightarrow V_{s}$ でない理由

# SNOではNeutral Current reaction

$$v_x + d \rightarrow p + n + v_x$$

$$x = e, \mu, \tau$$

でv<sub>e</sub>、ν<sub>μ</sub>、ν<sub>τ</sub>のflux**の和** の観測が可能



$$\left[ \phi(v_e) + \phi(v_{\mu}) + \phi(v_{\tau}) \right]_{data} = 5.09 \times 10^6 \text{cm}^{-2} \text{s}^{-1}$$

$$\left[ \phi(v_e) + \phi(v_{\mu}) + \phi(v_{\tau}) \right]_{SSM} = 5.05 \times 10^6 \text{cm}^{-2} \text{s}^{-1}$$

### (2+2)-scheme

$$\left| \mathbf{\eta_s} \equiv \left| \mathbf{U_{s1}} \right|^2 + \left| \mathbf{U_{s2}} \right|^2 \rightarrow \mathbf{0}$$

$$V_{atm}: V_{\mu} \rightarrow V_{s} (100\%)$$

Strongly disfavored by SK

Vatm data

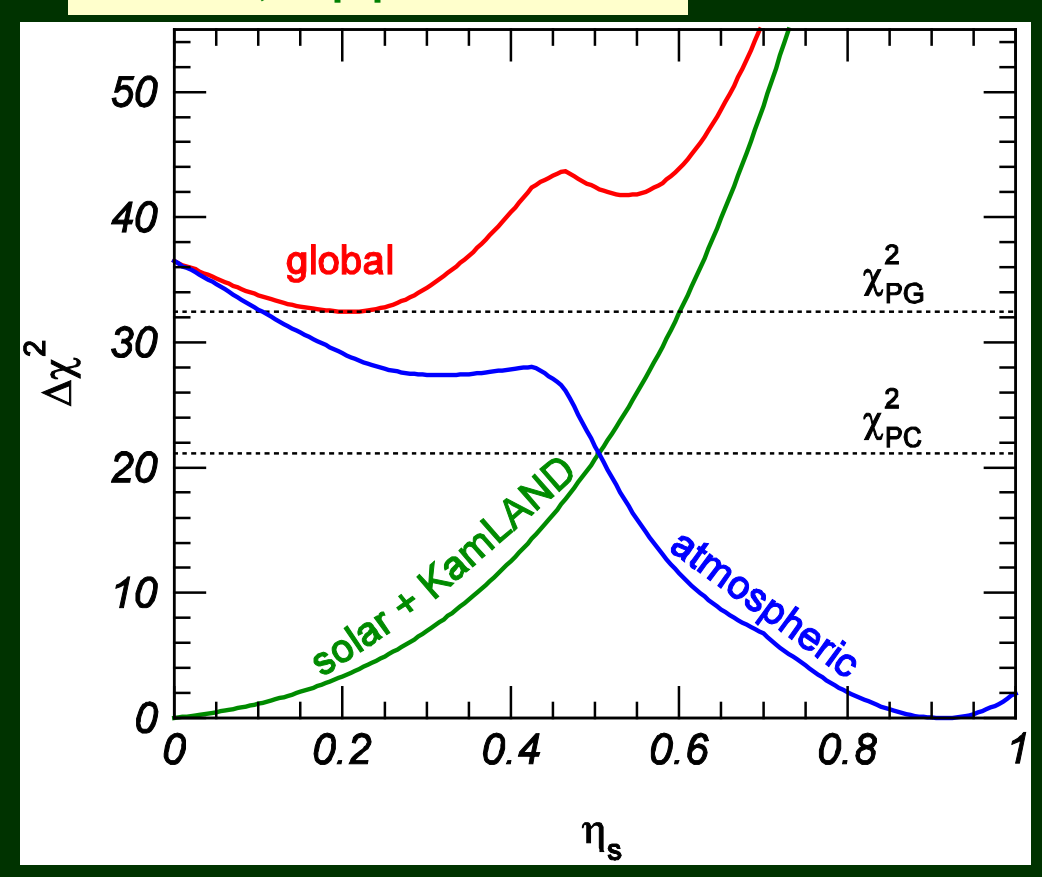
$$\eta_s \equiv \left| U_{s1} \right|^2 + \left| U_{s2} \right|^2 \rightarrow 1$$

$$V_{sol}: V_e \rightarrow V_s (100\%)$$

Strongly disfavored by SNO

V<sub>sol</sub> data

#### **Schwetz**, hep-ph/0311217



PC: parameter consistency test

PG: parameter goodness-of-fit test

For any value of  $|U_{s1}|^2 + |U_{s2}|^2$ , fit to sol+atm data is bad.

→excluded at 5.7σ